# Finding the Weight Loss Rate of Metallic Surfaces Exposed To Corrosion Presence of Vibration (Corrosion - Vibration)

#### Mohammed Abdulateef Ahmed

Production and Metallurgy Engineering Department, University of Technology/ Baghdad Email:Metal\_metal48@yahoo.com

Received on: 16/6/2011 & Accepted on: 7/6/2012

#### **ABSTRACT**

In this research the structural steel type (A36) samples were prepared by traditional preparation operations, chemical composition of samples was analyzed , hardness tested, then testing corrosion was achieved for two major cases, a general corrosion case when the corrosive medium (sea water) is static for five days period, and the second case is the corrosion with presence of mechanical vibration, which included two branch cases, first case; corrosion of vibrated samples with the vibrated corrosive medium, and the second case when the samples are fixed and corrosive medium is vibratory, a total test period is five hours for each case ,then found weight loss and the corrosion rate of all cases of corrosion mentioned by a traditional weight loss method, as well as study the microstructures before and after the corrosion cases and to find an experimental mathematical formula that illustrate the relationships between corrosion and corrosion with presence of vibration, note that the used device to study the mechanical vibration effect was locally designed and manufactured, according to the modified American Standard (ASTM G32). Observed that the weight loss and corrosion rate reached the highest value in the second case of corrosion with presence of mechanical vibration (fixed samples and corrosive medium is vibratory), followed by the first case of corrosion with presence of mechanical vibration (vibrated samples with the vibrated corrosive medium), and less the value of the corrosion rate and weight loss is the state of general corrosion (corrosion in the static medium). It was noted that the microstructure of the structural steel became uniformly corroded after general corrosion case (in static corrosive medium) and corrosion regions were spread or scattered over all parts of the sample surface on a regular basis, while the microstructure in the two cases of corrosion with presence of mechanical vibration containing irregular corrosion cavitations and scattered randomly on the surface, and more deeply especially the second case (fixed samples and corrosive medium is vibratory). Illustrated from the results and carves there was relationship between mentioned corrosion cases, it was an experimental mathematical formula:

Acc.C.R.= Vib-C.R2 – (Vib-C.R1 +Static C.R.)

Keywords: Vibration, vibrocorrosion, vibration-corrosion, vibration and corrosion.

# ايجاد معدل فرق الوزن للاسطح المعدنية المعرضة للتاكل بوجود الاهتزاز (تاكل – اهتزاز)

#### الخلاصة

في هذا البحث أجريت تهيئة لعينات الفولاذ الأنشائي نوع (A36) بعمليات التحضير التقليدية ، وتحليل للتركيب الكيميائي ،ثم أختبار الصلادة وبعدها فحوصــات التأكــل وبحــالتين رئيسيتين وهي حالة التأكل العام عندما يكون الوسط الأكال (ماء البحر) ساكناً ولمدة خمسة أيام ، والحالة الثانية هي حالة التأكل بوجود الأهتزاز الميكانيكي والتي تتضمن حالتين فرعيتين ؟ الأولى حصول حالة التأكل للعينات المهتزه مع الوسط المهتز والثانية عندما نكون العينات ثابتة والوسط مهتز، ومدة الأختبار الكلي لكل حالة خمسة ساعات ،وبعدها أيجاد فرق الوزن ومعدل التأكل لجميع حالات التأكل المذكورة بطريقة فرق الوزن التقليدية وكذلك دراسة البنية المجهرية قبل و بعد حالات التأكل ، وأيجاد صيغة رياضية تجريبية ربطت ما بين التأكل والتأكل بوجــود الأهتزاز ، علما" بأن الجهاز المستخدم لدراسة تأثيرالأهتزاز الميكانيكي مصنع محلياً وبحسب المواصفة الأمريكية المعدلة(ASTM G32) . لوحظ أن فرق الوزن و معدل التأكل بلغ أعلى قيمة في الحالة الثانية من التآكل بوجود الأهتزاز الميكانيكي( العينات ثابتة والوسط الأكال مهتز) ، تليها الحالة الأولى من التأكل بوجود الأهتزاز (العينات مهتزة مع الوسط الأكال) ، والأقل قيمة في معدل التأكل وفرق الوزن هي حالة التأكل العام ( التأكل في الوسط الساكن ). ولوحظ أن البنية المجهرية للفو لاذ الأنشائي بعد حالة التآكل العام ( في الوسط الأكال الساكن ) أصبحت متأكلة بشكل منتظم والتأكل منتشر على جميع أجزاء سطح العينة بالتساوي تقريبا" ؛ بينما كانت البنية المجهرية في حالتي التأكل بوجود الأهتزاز الميكانيكي محتوية على فجوات تأكـــل غيـــر منتظمة ومنتشرة بصورة عشوائية على السطح ،وبعمق أكبر وبالأخص الحالة الثانية (عينة ثابتة في وسط مهتز). يتبين من النتائج والمنحنيات بأن هنالك علاقة بين حالات التأكل السابقة نتجت من خلالها الصيغة الرياضية التجريبية التالية:

Acc.C.R.= Vib-C.R2 – ( Vib-C.R1 +Static C.R.) الكلمات المرشدة: الأهنز از ،التأكل بوجود الأهنز از ، تأكل – أهنز از ، التأكل و الأهنز از .

#### المقدمة

التأكل يحدث في المعادن بفعل كيميائي او كهروكيميائي ، والتأكل العام يحدث عند وضع المعدن في وسط أكال ساكن نوعا ما ، أو عند عدم وجود حركة بين المعدن والوسط . وعليه فأن تأثير التأكل مع الفعل الارتطامي لحركة الوسط تؤمن استمر ارية عالية لوجود سطح نظيف خالى من نواتج التأكل[4-1].

والتأكل يحدث في جميع أنواع المعادن وإذا كان الوسط المتحرك يحتوي على جسيمات صلبة فتكون ذات تأثيرات كبيرة بالمعدن.الحركة المستمرة تعمل على إزاحة الطبقة البينية (وقد تكون طبقة واقية من نواتج التأكل) الموجود بين السائل الأكال والمعدن[5,6].

بما أن التآكل بوجود الأهتزاز هو عبارة عن تفاعل كيميائي أو كهروكيميائي مصحوب بحركة أهتزازية و هذه الحركة ستولد أضطراب بالوسط فسيحدث تآكل فجوي والتآكل الفجوي يحدث نتيجة لحركة السائل الاكال الحاوي على فقاعات هواء بسرعة عالية. ويعتبر من أنواع التآكل بالتعرية الذي يعرف بأنه معدل التآكل أو التحلل الكهروكيمياوي نتيجة الحركة الأهتزازية للوسط الأكال الملامس لسطح المعدن وهذه الظاهرة واضحة جدا في المراجل والنفائات والتورينات حيث يحدث تحلل كهروكيميائي متزامن مع التأثير الميكانيكي الناتج من الحركة

الأهتر ازية للسائل الأكال مسببا جرف لنواتج التآكل المتكونة على سطح العينة والمعيقة لتبدل الآيونات والألكترونات (كما في حالة التآكل الساكن) وهذا ما يرفع من الأنتشار للآيونات و الألكترونات للمعدن وللمحلول الأكال ويعجل من التآكل ويصبح المعدن الأساس عرضة للوسط الأكال بعد إزالة الطبقات الواقية المتكونة على سطح المعدن وهكذا تتكرر هذه العملية عدة مرات حتى تسبب أنهيار ذلك المعدن[6,7,8].

وفي عام 2010 قام الباحث (قاسم) [9] باجراء اختبارات التأكل على انبوب من الفولاذ الكاربوني في حامض الهيدروليك بتركيز (0.1) نورمالي تحت ظروف ساكنة للمحلول وعند ظروف جريان للمحلول بسرع دورانية ( 040الي 1400) دورة بالدقيقة ومدى من الدرجات الحرارة (35الي60) بأستخدام طريقة فقدان الوزن وبوجود عدة انواع من مانعات التأكل الحرارة (1400ي 1400) بأستخدام طريقة الأسطوانة الدوارة . بينت النتأئج ان معدل التأكل يزداد مع زيادة درجة مرارة المحلول وزيادة سرعة دورانه ويقل مع زيادة تركيز المانعات . اعلى منع تم الحصول في حالة الظروف الساكنة كان باستخدام الثايو يوريا و وصل الي (77%) و اقل منع كان باستخدام الفورماد يهايد (37%) حسب درجة الحرارة وتركيز المانع . كذلك بينت النتائج ان كفائة المانع تزداد بازدياد تركيزه و نقل مع زيادة سرعة المحلول .

أما الباحثان (Manshedi) و (Mahri) و (Mahri) فقد وجدوا نتائج رقمية لأنهيار المعدن بسبب التآكل و التآكل المصاحب للأهتزاز و تأثيرها على الخواص الديناميكية لخزانات السوائل الأكالة المصنوعة من الفولاذ المطلية وغير المطلية بالكروم . ويبين البحث أيضا بأن التآكل الداخلي للخزانات يعتمد على الزمن وسمك جدار الخزان عند منطقة التماس مع الماء المتبقي والأوكسجين الجوي والغازات الحامضية . والتحليل الديناميكي المنجز بنموذج أو موديل رقمي للخزان والسائل فقد أجري لمواقع محددة لجدار الخزان والتي تمتلك قياسات مختلفة للسمك ، وبين التحليل الرقمي بأن تردد الأهتزاز وشكل موجة الأهتزاز المصاحب للتآكل لها أثر كبير على معدل التآكل ، وبوجود الضغوط الهيدروديناميكية للسوائل ستتولد تأثيرات شديدة يجب مراعاتها في فترة تصنيع الخزانات لأطالة عمر خدمة الخزان .

والباحث (Habib) [11] وأخرون معه درسوا التآكل بوجود الأهتزاز ومشاكله في خطوط الأنابيب الناقلة وللمناطق الداخلية الصغيرة ،وأجريت الدراسة على سلوك الأهتزاز و أشكال نماذج الترددات المؤثر في الأنابيب الناقلة للغاز الطبيعي وبأستخدام طرق عالمية لكشف التآكل بوجود الأهتزاز عن طريق تمييز ترددات الرنين ، ومن خلالها تحلل المشاكل الناجمة من التآكل المصاحب للأهتزاز وتكون مسجلة رياضيا".

وبين الباحثان (Blakman) و (Wall) [12] بأن الطاقة الميكانيكية الناتحة من الأهتـزازات تؤثر وبشكل كبير على التفاعل الكيميائي أثناء تأكل المعادن وهـذا لـه دور مهـم فـي عـالم التكنولوجيا . حيث أن التأكل بوجود الأهتراز يولد فشل وتحطم أشد مما لو كان التأكل لوحـده، فالأجهاد الخارجي (الأهتراز) المصاحب للتأكل يجعل المحلول الأكال مضطرب وهـذا يولـد أنفجار للفقاعات الغازية أثناء تأكل سطح المعدن محدثا" فيه تأكلا" فجويا" شديدا" .

# الجانب العملي المعدن المستخدم

بعد تحليل المعدن المستخدم كيميائيا في الشركة العامة للمعدات الهندسية الثقيلة والتابعة والتابعة و PMI ) ( SPECTROMETER ) ( SPECTROMETER ) لوزارة النفط وبأستخدام جهاز المطياف المسوجي (MASTER ) شركة (WAZ) شركة في الجدول

(1)، وعلى أساس هذا التحليل يكون تصنيف الفو لاذ هو (36 A) وهو فو لاذ كاربوني بحسب المواصفة الأميركية (ASTM)، والشكل (1) يوضح الجهاز المستخدم في تحليل السبيكة المستخدمة في البحث .

# جدول (1) التركيب الكيميائي للعينة المستخدمة.

Chemical Composition %	Analytical	Standard Analytical
C	0.13	≤ 0.20
Si	0.17	0.80
Mn	0.54	1.00
Cr	0.103	0.25
Cu	0.15	0.50
Ni	0.056	0.50
Mo	0.09	0.10
V	0.03	0.05
W	0.04	0.05
Fe	Rem.	Rem.



شكل ( SPECTROMETER ) شكل أدا ) جهاز تحليل المعادن

# توليد الأهتزازات

أستخدمت منظومة الاهتزاز والتي تتكون من محرك كهربائي مزود بكتلة أو قـرص غير متزن لغرض تكوين الاهتزازات وجهاز متحكم بالسرعة لهذا المحرك ، ويمكن عـن طريق متحكم السرعة ان نغير السرعة الدورانية  $N(\mathbf{R}.\mathbf{P}.\mathbf{M}.)$  وبالتالي نغير التـردد  $\omega$  لهذه المعادلتين [ 13,14 ] :

$$\omega = N/60 \text{ (RPS)} \tag{1}$$

$$\omega = 2\pi N/60 \text{ (rad/sec.)}$$
 (2)

وتمت معايرة جهاز التحكم بالسرعة بأستخدام جهاز ستروبسكوب والذي يعطيي السرعة الدور انية الحقيقية للمحرك، فعند مشاهدة القرص اثناء الدور ان متوقف وفيه ثقب واحد فان الجهاز الستروبسكوب يعطي القيمة الحقيقية للسرعة الدورانية. و أستخدم جهاز متحسس للأهتزاز (vibration meter) لغرض ايجاد سعة الأهتزاز حيث يقوم بقياس تعجيل الاهتزاز وسرعته وبالتالي حساب سعة الاهتزاز وذلك عن طريق متحسس للاهتزاز يتم تثبيت بصورة عمودية على سقف الجهاز وعلى نراع تثبيت عينة الأختبار بالذات، أي موازي لاتجاه حركـة الاهــــتزاز بواســطة مغناطيس مربــوط مع المتحسس . والذي تمت معايرتــه بتعجيل مقداره (10m/s²) وبت ردد م قداره (79.6 Hz) حيث وجادره (Vibration meter وجادره الاشارة الم نتالة الدي بم قدر (10m/s²) وكما في الشكل المصور (6). ان المتحسس يقوم بكشف التغييرات الفيزيائية ويقوم بتحويلها الى اشارة كهربائية وبالتالى نقاس هذه الاشارة وتسجل، وهذا الجهاز معاير للعمل اما على معدل الجذر التربيعي (RMS) او من قمة الى قمـة ( peak to peak ) ويصل اعلى قيمة للسرعة ومقدارها (200mm/s) والتعصيرين وكما في الشكل المصور ( d ) . لايجاد سعة الاهتزاز d وسرعة الأهتزاز v نطبق ( d ) وكما في الشكل المصور هذه المعادلات [13,14]:

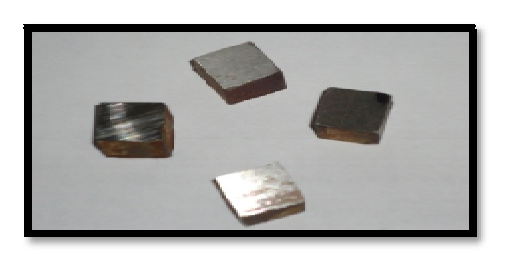
$$d = \frac{acc}{(2 * p * f)^2 * \sqrt{2}}$$
 (3)

$$v=f^*acc.$$
 (4)

يتم ربط المنظومة وكما في الشكل ( 4 ) حيث نفذت التجارب: علماً بأن الجهاز المستخدم لدراسة تأثير الأهتزاز الميكانيكي مصـنع محليــــا" وبحســب المواصـــفة الأمريكيـــة المعدلـــة (ASTM G32). تم اتباع اجراءات اساسية في التجارب المختبرية وتدوين النتائج الأعتمادها في تحليل تاثير الاهتزاز في تاكل السبيكة (A36).

# تحضير العينات

قُطعت العينات على شكل مكعبات منتظمة حيث كانت جميع الأبعاد (الطول والعرض والأرتفاع ) هي (1Cm) كما في شكل (2) . و قطعت العينات بأستخدام جهـــاز قطـــــــــــع ملائم وهـــو (جهاز قطع المعادن) (CUTO 20) (JEAN WIRTZ المنشأ المانيا



شكل (2) العينات التي تم تقطيعها.

# التنعيم

تم تتعيم العينات المقطعة بأست خدام ورق تتعيم من كربيد السليكون ( SiC ) و بعدة تدريجات ( 240,320,500 and  $1000\mu m$  ) على التو الي وبأستخدام ماء الأسالة الجاري لتسهيل عملية التتعيم .

#### الصقل

بعد غسل العينات وتنظيفها بالماء تم صقل العينات بمادة الألومينا ( $AL_2O_3$ ) ذات حجم حبيبي (0.3 مايكرون ) والمتوفرة في نفس المختبر الذي أجري فيه النتعيم وبعدها تم غسل العينات بالماء وتجفيفها بمنديل ورقي.

# الأظهار

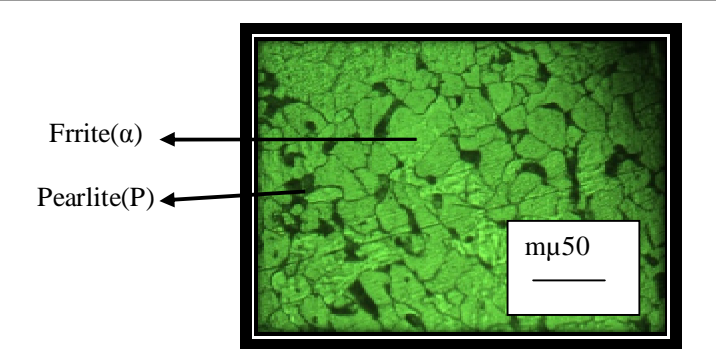
تم أستخدام محلول النايتل ( 99-99-4 + 95-1-99 ) للأظهار بحيث غمرت العينات في محلول النايتل لمدة 15 ثانية بعد ذلك تم تهيئة العينات للفحص المجهري بتجفيفها بأستخدام مجفف كهربائي.

#### فحص الصلادة

فحصت صلادة الفو لاذ المستخدم بجهاز قياس الصلادة هـو للطلالة (Hardness = 137 HB) ( المانيا الغربية ) وكانت صلادة الفو لاذ هي (Wirth Str.48) ولهذا يعتبر المعدن بناءا" على هذو القيمة من المعادن المعتدلة الصلادة .

# الفحص المجهري

بعد تحضير العينات تم التصوير بأستخدام المجهر الضوئي الميتالـــورجي وهو من نسوع ( METGT TECH ML 8000 SERIES JAPAN 3003 ) المربوط بالحاسبة في الشركة العامة للمعدات الهندسية الثقيلة التابعة لوزارة النفط، و البنية المجهرية موضحة في شكل (3).



شكل (3) البنية المجهرية للعينة قبل أجراء عمليات التآكل (200 X).

#### أختبارات التآكل

بعد تحضير العينات أجري أختبار التآكل العام عندما يكون الوسط ساكنا" ( $\omega = 0$ Hz) و في الظروف القياسية لكل من درجة الحرارة والضغط ( $\omega = 0$ 2°C) ، (atmosphere ) ، و أجريت أختبار ات التآكل بوجود الأهـــــتزاز بـــنفس الظـــروف القياسية من حيث درجـة الحــرارة والضغط ويــكون الوسط مهتزا" بتردد قدره ( $\omega = 150$ Hz) وبسعة قدرها ( $\omega = 0.5$  mm) وكان وسط التآكل هو ماء البحر الذي يعتبر وسط تآكل ملحــي بأحتوائــه علــي كلوريد الصوديوم ( $\omega = 0.5$ 3°C) أستنادا" للمعيار القياسي العــالمي الأميركــي ( $\omega = 0.5$ 4°C) وطبقت طريقة فرق الوزن التقليدية لحساب معدلات التآكل العام والأهتزازي ؛ ولغــرض قياس الأوزان تم أستخدام ميزان حــسـاس مـــن نــوع ( $\omega = 0.5$ 1°C) ويعمــل ( $\omega = 0.5$ 1°C).

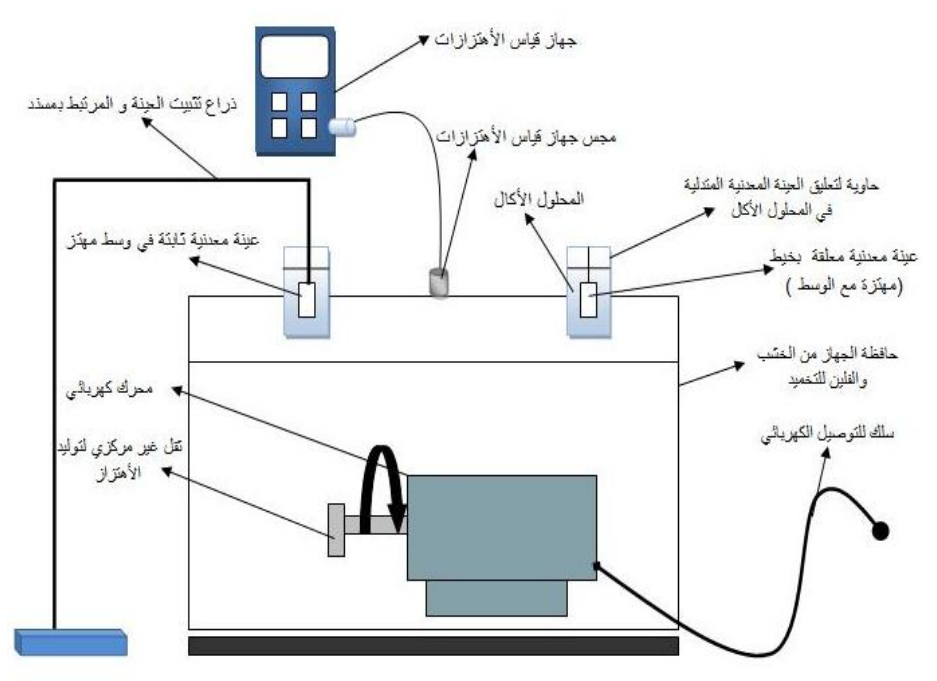
# التأكل العام (الوسط ساكن)

في هذا النوع من التآكل عندما يكون الوسط ساكنا ( $\omega = 0$ Hz)، حيث تم غمر العينات المراد أختبارها بعد تعليقها في الوسط الأكال ( $\omega = 0$ Hz) وفي حاويات خاصة و لمدة خمسة أيام وتم تسجيل الوزن الأبتدائي للعينات وكذلك تم حساب فرق الوزن الحاصل بعد كل يوم للتآكل بعد أخراجها من المحلول الأكال وتنظيفها وتجفيفها جيدا" وهي الطريقة التقليدية.

# التآكل بوجود الأهتزاز (الوسط مهتز)

تم أجراء عمليات التآكل بوجود الأهتزاز وبنوعيه (للعينة الثابتة في الوسط ألأكال المهتز) و (للعينة المهتزة مع الوسط الأكال المهتز) . أما الوسط الأكال فهو نفس الوسط الملحي المستخدم و (للعينة المهتزة مع الوسط الأكال بوجود الأهتزاز المستخدم مصنع محليا" وبحسب المواصفة الأمريكية المسعدلية و (ASTM G32) ، وكان مقدار تردده مثبتا" عند ( $\omega = 150$  ) وبسعة قدرها ( $\omega = 0.5$  mm) . والجهاز المستخدم موضح في الشكل (4) ويتضمن أماكن لوضع الحاويات المملوءة بالمحلول الأكال لكي توضع فيها العينات المدروسة وهي على نوعين معلقة بخيط ومتدلية في الوسط الأكال أو مثبتة بذراع بلاستكي لايتآكل و ثابت ، وهذا الذراع يجعل العينة مغمورة في الحاويات المحاويات الخاصية

بالجهاز ونفذت حالتي التآكل بوجود الأهتزاز ، وكانت الفترة الكلية لكل حالة هي خمس ساعات بحيث تسجل الأوزان الأولية للعينات قبل أيجاد فرق الوزن الحاصل بعد كل ساعة .



شكل (4) جهاز التآكل بوجود الأهتزاز.

# طريقة فقدان الوزن

ويتم حساب مصعدل التآكل في الغالب وفق طريقة فقدان الـوزن النقليديــة وكـــمــــا في القــــانون النـــالي [6] [5] [4]:

$$\mathbf{C.R} = \frac{\Delta W}{A * t} \tag{6}$$

حيث أن :

 $(g/m^2day)$  هو معدل التآكل : C.R.

(g) مقدار فرق الوزن (A w

 $(m^2)$  المساحة السطحية للعينة المعرضة للوسط الأكال A

( day ) الزمن : t

وفي دراسة التآكل بوجود الأهتراز على عينات الفولاذ الأنشائي في ماء البحر وبحالتيه (عندما تكون العينات مهترة والوسط مهترأيضا" وهي الحالة الأولى) و (عندما العينات تكون ثابتة

و الوسط فقط يكون مهتز وهي الحالة الثانية) فإن معدل التآكل بوجود الأهتزاز سيتم أيجادهُ أيضاً" بطريقة فقدان الوزن التقليدية وفق المعادلة (2) .

Vib-C.R.1,2 = 
$$\frac{\Delta W}{A*t}$$
 \_\_( 7 ) : خیث أن

:Vib- C.R.1,2 هو معدل التآكل بوجود الأهتزاز بنو عيه(1,2) (g/m<sup>2</sup>day)

(g) مقدار فرق الوزن ∆ w

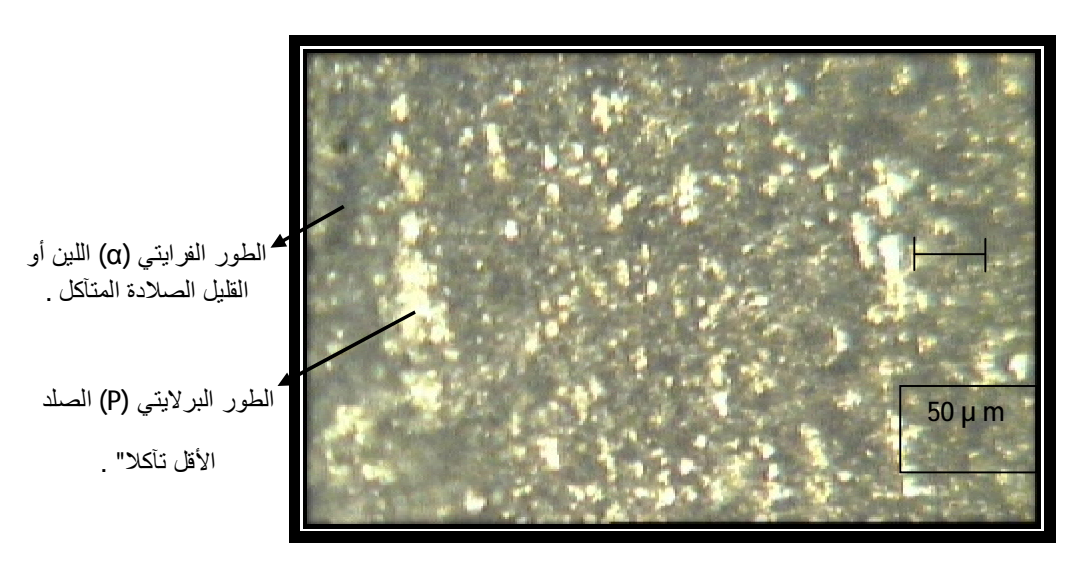
 $(m^2)$  المساحة السطحية للعينة المعرضة للوسط الأكال A

( day ) الزمن : t

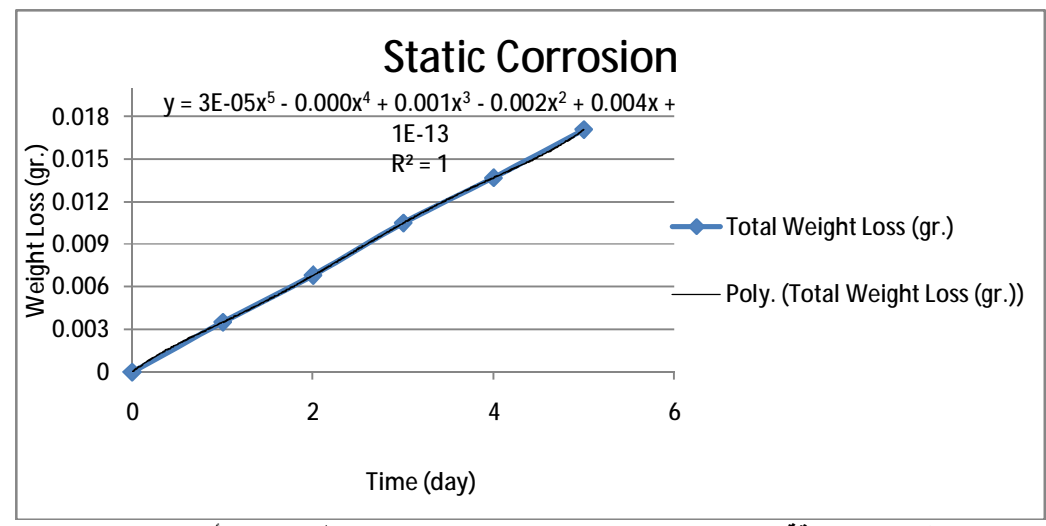
# النتائج و المناقشة

# قياسات التآكل العام (التآكل في الوسط الساكن) ونتائجه

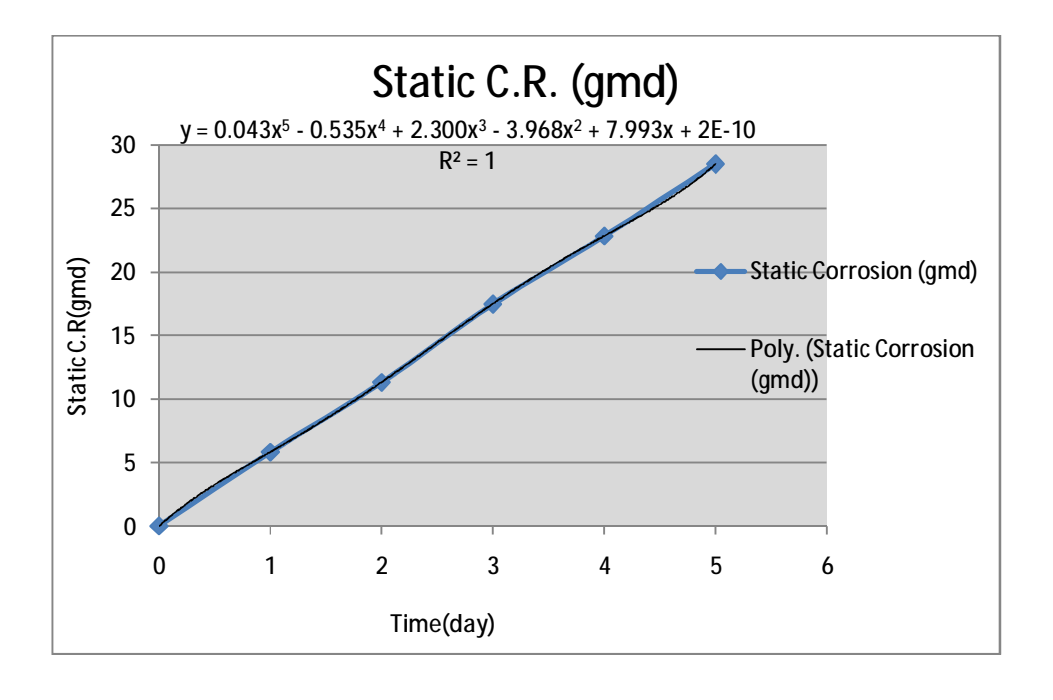
في ظل ظروف الوسط الأكال الساكن (التآكل العام) تبين بأن البنية المجهرية للعينة قد تعرضت المتآكل و بشكل منتظم ويشمل كل أجزاء سطح العينة تقريبا" كما مبين في شكل (5) لأن الوسط ساكن و لايسبب أي أضطراب أو فعل ميكانيكي على السطح مما يزيد من شدة التآكل في منطقة ما دون الأخرى [12-9] [6-4]. وكذلك الحال بالنسبة لفقدان الوزن كما في شكل (6)، أما معدل التآكل فالشكل (7) يوضح أستمرار التآكل للعينسة بمرور الزمن لعدم تولد أي طبقة للخموديسة ( Passivity ) على سطح العينة والتي تعزلها عن المحيط الخارجي الأكال [6-1].



شكل (5) البنية المجهرية الناتجة بعد التآكل العام في الوسط الأكآل الساكن (تآكل منتشر بشكل منتظم على كل السطح) وبقوة تكبير ( X 200).



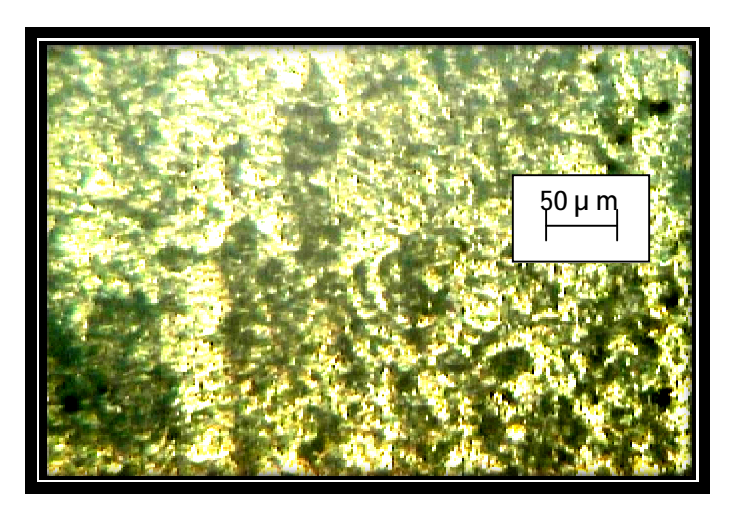
شكل (6) العلاقة بين الزمن والوزن المفقود بعد التعرض للوسط الساكن الأكال .



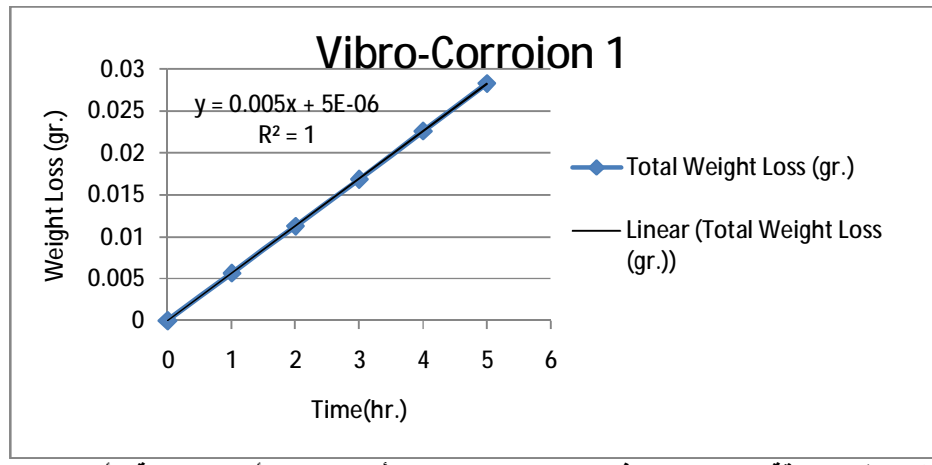
شكل (7) العلاقة مابين الزمن ومعدل التآكل الحاصل في الوسط الأكال الساكن.

#### قياسات التآكل بوجود الأهتزاز ونتائجه

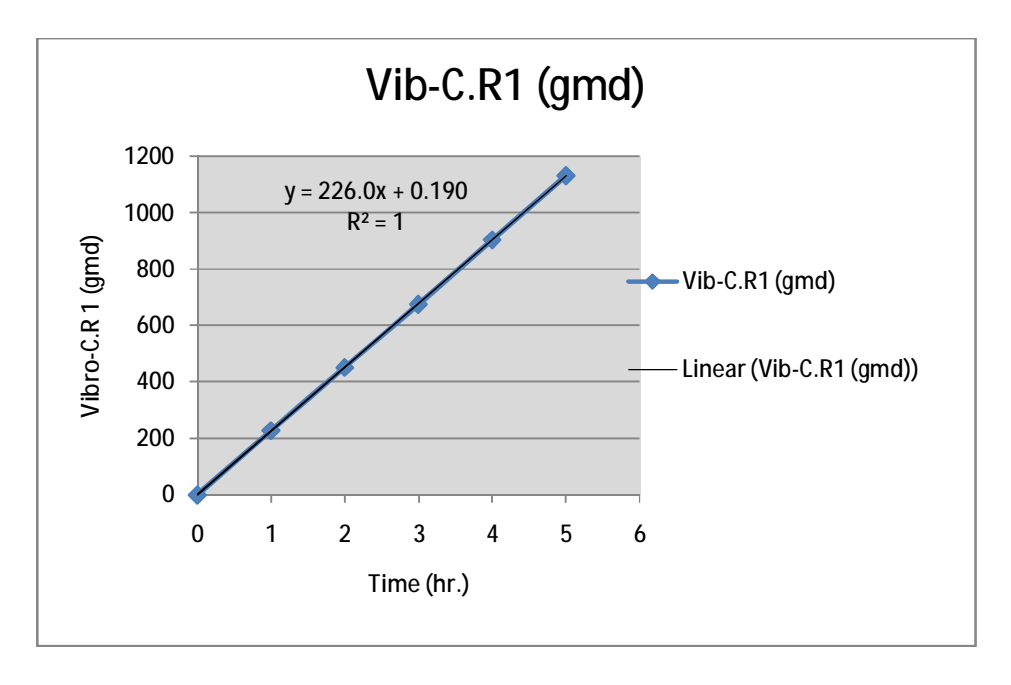
أولاً) بالنسبة للحالة الأولى عندما تكون العينة مهترة مع الوسط وتحت الظروف القياسية وبأستخدام جهاز التأكل بوجود الأهتراز ذو التردد والسعة المذكورة أنفا ، شكل (8) يبين ذلك، يتضح أن البنية تتعرض إلى التأكل بشكل غير منتظم وبفجوات تأكل كبيرة موزعة بصورة غير منتظمة على السطح بسبب الأهتراز والفعل الميكانيكي الحاصل على السطح عن طريق الوسط الأكال المهتر، ونتيجة لذلك يحصل تعجيل في عملية التأكل [5,6,9]. شكل (9) يبين الفقدان بالوزن مع الرزمن ، والشكل (10) يوضح معدل التأكل بمرور الزمن ، أي إن أنهيار القطعة العاملة سيكون معجل بوجود الأهتراز داخل الوسط الأكال أكثر مما لو كانت في الوسط الأكال الساكن ، وهذا يعود الى دور التأثير الميكانيكي أو بفعل الأرتطام للمحلول الأكال المهتز والمحيط بعينة الأختبار المهتزة أيضا مع الوسط مزيحا واتج التأكل المقولدة على سطح العينة ، وهذا ما سيولد تأكل موضعي شديد في مناطق الأرتطام بين المحلول الأكال والعينة وعلى شكل تجاويف والتي تعتبر مناطق لدخول المحلول الأكال مباشرة الى المعدن الأساس والذي سيستمر بالتأكل بمرور الزمن وبشكل معجل وتكراري لحين حصول أنهيار المفاجيء للقطعة العاملة بالـ10-1].



شكل (8) البنية المجهرية الناتجة بعد الحالة الأولى من التآكل بوجود الأهتزاز (200X).



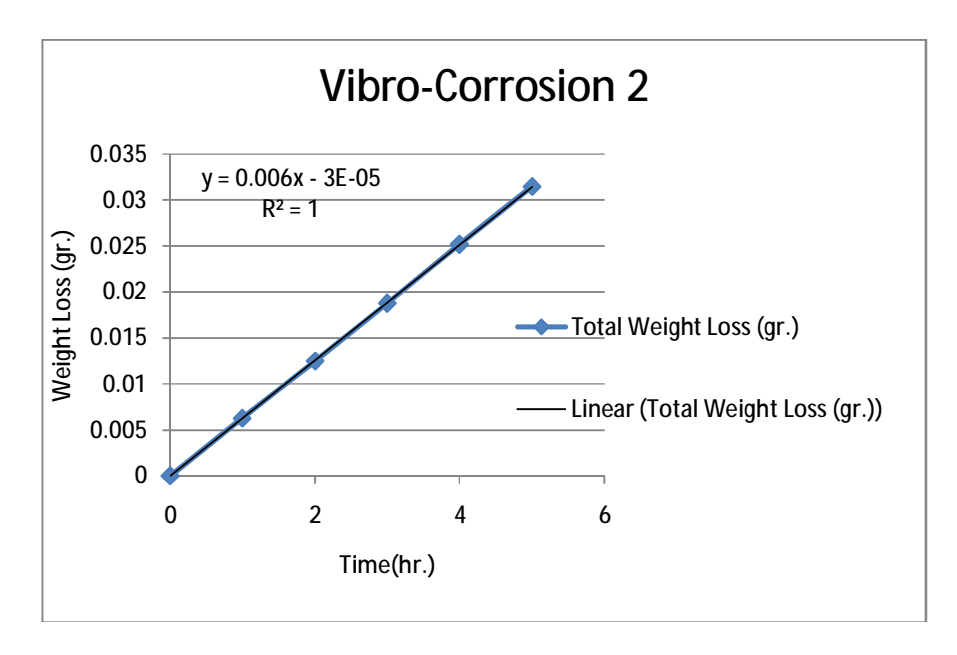
شكل (9) العلاقة بين الزمن و فرق الوزن الناتج من التأكل بوجود الأهتزاز الحالة الأولى.



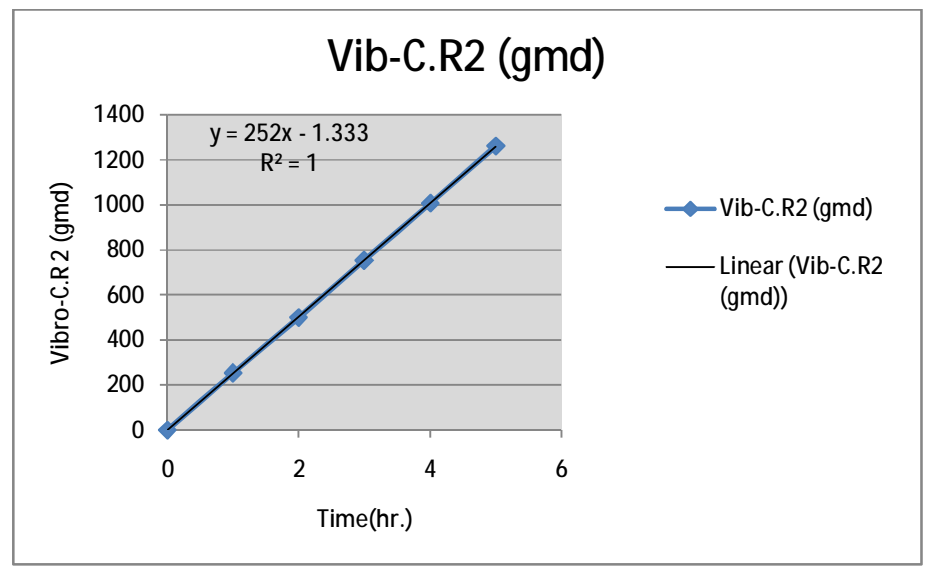
شكل (10) العلاقة بين الزمن ومعدل التآكل الحاصل بوجود الأهتزاز الحالة الأولى .

ثانيا") بالنسبة للحالة الثانية عندما تكون العينة ثابتة والوسط الأكال مهتز وبنفس الظروف المذكورة في الحالة الأولى للتاكل بوجود الأهتزاز وقد تبين أن الوزن المفقود يزداد بشدة أكثر من الحالتين السابقتين مع مرور الزمن كما مبين في شكل (11) ، وكذلك الحال بالنسبة لمعدل التآكل فأنه يزداد بمرور الزمن أيضا" أكثر من معدل التآكل في الحالتين السابقتين وكما مبين

شكل (12)، و تفسير ذلك هو أن فعل الأرتطام الميكانيكي للوسط الأكال المهتز يكون ذو تأثير ميكانيكي شديد على سطح العينة الثابتة الغير مهتزة مع الوسط الأكال أكثر مما لو كانت العينة مهتزة مع الوسط الأكال أكثر مما لو كانت العينة مهتزة مع الوسط الأكال ، وهذا ما يجعل العينة تتأكل أسرع من العينة في الحالة الأولى و بتعجيل أكثر المتآكل [12-9] [6-1] . أما بالنسبة البنية المجهرية للعينة الثابتة بعد التأكل بوجود الأهتز از ، فكان تأكلها موضعيا "شديدا" جدا" مقارنة " بالحالتين السابقتين ، حيث يكون سطح العينة في هذه الحالة (الحالة الثانية) حاويا على فجوات أو تجاويف أو سعع و أعمق من الحالة الأولى ولكن للتأكل بوجود الأهتز از ولكنها ستعمل نفس عمل التجاويف أو الفجوات في الحالة الأولى ولكن بتعجيل اكثر بسبب شدة الأرتطام في هذه الحالة اكثر مما هو عليه في الحالة الأولى، كما في الشكل أن البنية المجهرية تتعرض إلى التأكل بشكل غير منتظم وعلى شكل فجوات عشوائية كبيرة منتشرة على السطح نتيجة لحالة الأضطراب الكبيرة التي تحصل ونتيجة للتعجيل الكبير الحاصل في معدل التأكل [12-10][8-5]. ويمكن المقارنة بين الرنمن والوزن المفقود لجميع حالات التأكل السابقة كما في شك



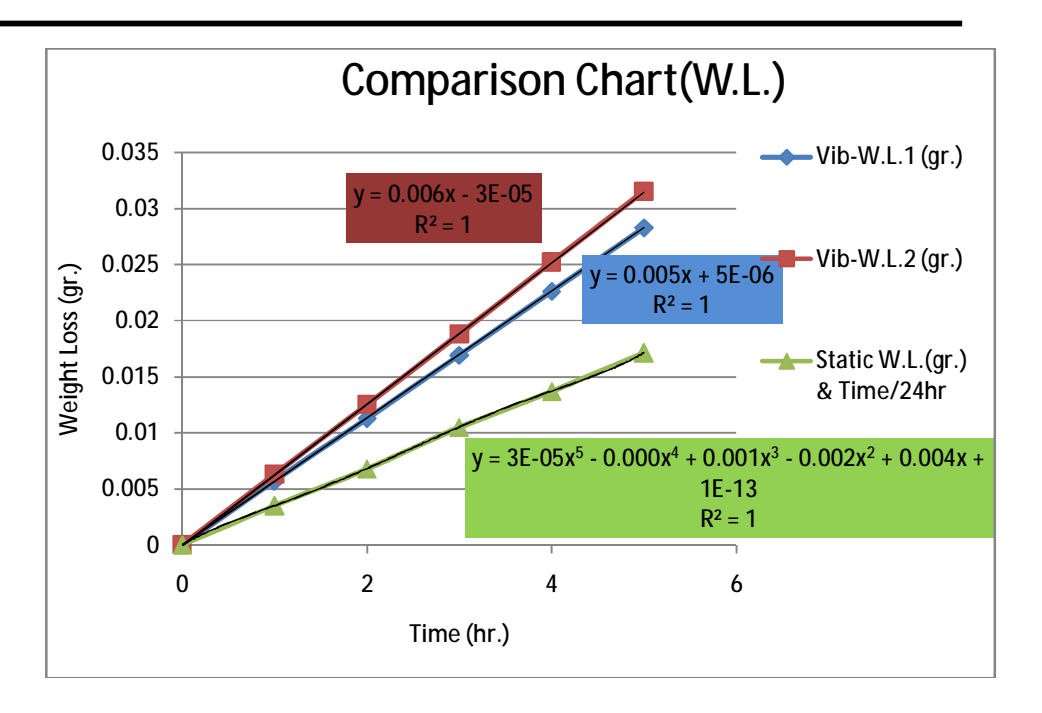
شكل (11) علاقة الزمن والفقدان بالوزن الناتج من التأكل بوجود الأهتزاز الحالة الثانية.



شكل (12) علاقة الزمن بمعدل التآكل الحاصل بوجود الأهتزاز الحالة الثانية.

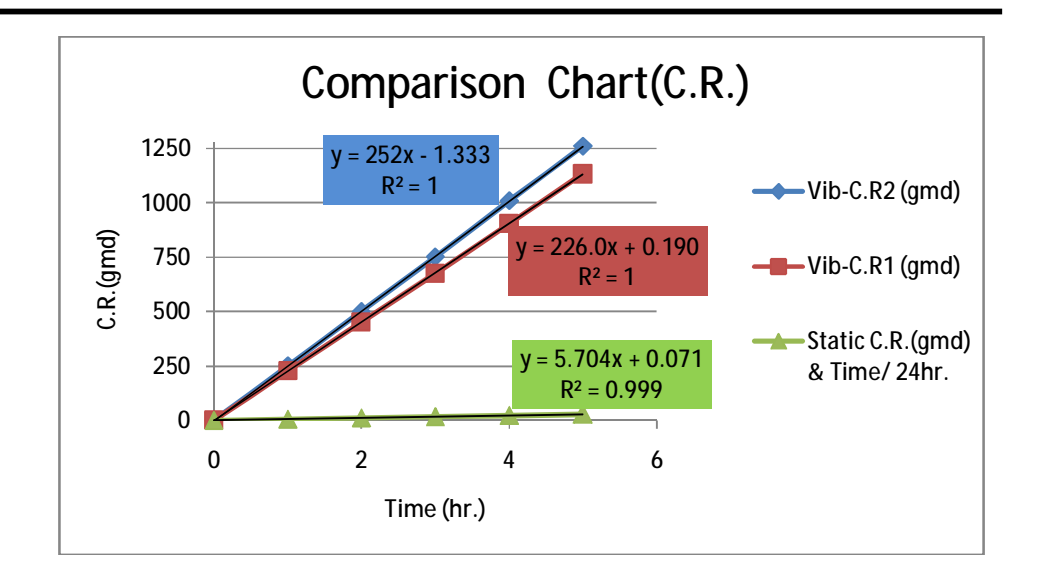


شكل (13) البنية المجهرية الناتجة بعد الحالة الثانية من التآكل بوجود الأهتزاز ( 200 X ).



شكل (14) علاقة الزمن مع الوزن المفقود في حالات التآكل الثلاث.

حيث تبين بأن الوزن المفقود يكون في الحالة الثانية من التآكل بوجود الأهتزاز أكبر قيمة ثم تأتي الحالة الأولى من التآكل بوجود الأهتزاز، ويكون الوزن المفقود أقل قيمة في حالة التآكل العام (التآكل في الوسط الساكن). كما يمكن توضيح الفروق في معدلات التآكل لجميع حالات التآكل كن كون كبير جدا" في حالة التآكل بوجود الأهتزاز وعندما تكون العينات ثابتة والوسط مهتز نتيجة للحركة الأهتزازية للوسط الأكال الملامس لسطح العينة و يحدث تحلل كهروكيميائي شديد متزامن مع التأثير الميكانيكي الناتج من الحركة الأهتزازية للسائل الأكال مسببا" جرف لنواتج التآكل المتكونة على سطح العينة والمعيقة لتبادل الأيونات والألكترونات ( الفعل الأرتطامي للوسط عصلى سطح العينة والمعدن وللمحلول عصلى ويعجل من التآكل ويصبح المعدن الأساس عرضة للوسط الأكال بعد إزالة الطبقات الواقية (passive films) المتكونة على سطح العينة وهكذا تتكرر العملية عدة مرات مما الواقية ريادة كبيرة في فقدان الوزن للعينة المعرضة للوسط الأكال.



شكل (15) علاقة معدلات التآكل للحالات الثلاث مع الزمن.

ومن الأشكال والعلاقات السابقة يمكن أستتاج صيغة رياضية تجريبية تبين التعجيل في معدل تآكل سطح المعدن المعرض للتآكل بوجود الأهتراز بالربط بين حالات التآكل الثلاثة ، و الصيغة هي:

Acc.C.R.= Vib-C.R2 - ( Vib-C.R1 +Static C.R.) Acc.C.R.= 1260 - (1132+28.5)=156.5 (gmd) مو مقدار التعجيل بالتأكل ، (Vib-C.R2) هو معدل التأكيل عبوجود الأهنز از الحالة الثانية أو (التأثير الكلي ) والمنكون من (Vib-C.R1) وهو معدل التأكل بوجود الأهنز از الحالة الأولى ، و (Static C.R.) وهو معدل التأكل في الوسط الساكن وجميعها بوحدات (gmd) وأختصارها (gmd).

#### الأستنتاجات

- معدل التآكل للعينات الثابتة والمعرضة لوسط أكال مهتز (الحالة الثانية) يكون أكبر من معدل التآكل للعينات المهتزة مع الوساط الأكال المهتز (الحالة الأولى). ويليه معدل تآكل العينات في الوسط الساكن.
- 2. البنية المجهرية معرضة للتآكل وبشكل منتظم تقريباً على كل السطح في حالة التآكل العام (حالة الوسط الساكن) وعلى عكس حالة التآكل بوجود الأهتراز (وبحالتيه) الذي تكون فيه البنية المجهرية معرضة للتآكل وبشكل غير منتظم وعشوائي وبشكل فجوات كثيرة على السطح وتكون أكثر عمقا" في حالة العينة ثابتة والوسط الأكال مهتز (الحالة الثانية للتآكل بوجود الأهتراز).

3. يتبين من النتائج والمنحنيات المستحصلة السابقة بأن هنالك علاقة رياضية تجريبية تربط حالات التأكل الثلاثة لأيجاد مقدار التعجيل بمعدل التأكل بسبب الأهتزاز الميكانيكي المصاحب للتأكل ،والعلاقة هي:

Acc.C.R.= Vib-C.R2 – (Vib-C.R1 +Static C.R.)

# المصادر والمراجع

- [1] د. سامي أبر اهيم جعفر الربيعي،" الأسس والمبادئ الهندسية للتأكل"، الجزء الأول، الجامعة التكنولوجية ، ( 2010 ) .
- معالمة المروبي المراكة المراكة المراكة المراكة المراكة المراكة المراكة الأولى، دار دجلة المراكة الأولى، دار دجلة المماكة الأردنية الماشمية ، ( 2010 ) .
- [3] د. حسين باقر رحمة الله ،" هندسة التآكل وحماية سطوح المعادن" ، الجامعة التكنولوجية ، (1990) .
- [4]. Fontana and Green, "Corrosion Engineering", McGraw-Hill book Co., third edition, (1981).
- [5]. Shrier L.L., "Corrosion Metal / Environment reactions", Volume1, printed and bound in Great Britain, Butterworth Hejne Mann, Third edition, (2000).
- [6]. Kenneth R. & John chamberlain "Corrosion for Science & Engineering "Addison Wesley London, LONGMAN Group Limited, first and second edition, (1996).
- [7]. Denny A. Jones. "Principles and Prevention of Corrosion "Macmillan . Publishing Co. Maxwell Macmillan Canada & Maxwell international Publishing Group , (1992).
- [8]. Annual Book of ASTM Standards, Vol. 03.02, Designation G32, (2010).
- [9]. Qasim J.M. Slaiman ,Basim O. Hasan , Hader M.Turki, "Performance of some corrosion inhibitors for carbon steel in hydrochloric acid",The 2<sup>nd</sup> Regional .Conf. for Eng.Sci./College.of Eng./Al-Nahrain University/1-2/12/2010.
- [10]. Dehghan Manshadi, S.H. Mahmoud R. Maheri,"The Effects of Long-Term Corrosion on The Dynamic Characteristics of Ground Based Cylindrical Liquid Storage Tanks", Thin-Walled Structures ,Volume 48,Issue12,elesiver , December(2010).
- [11]. Habib Ammari et al," Vibration Testing for Detection Internal Corrosion ", hal-00125820, Version 1-22 Jan( 2007) ,1-3.
- [12]. Blakman and R.Wall L.C.F., "Vibration-Enhanced Corrosion of Metals", Chemical Research Division ,British Railways Research Department ,The Aveneu , Muswel Hill London ,N.10 Journal Home, Current Issue, Nature Publishing Group ,18 April (1964),285-286.
- [13]. Cyril M Harris & Allan G. Piersl "Shock and Vibration" handbook, Fifth Edition. Colmbia University, New York, (2002).
- [14]. William T. Thomson, Marie Dillon Dahleh ,"Theory of Vibration with Applications", Fifth Edition ,Prentice hall, (1998).